

## III-38 不飽和土の土構造と力学的特性について

佐賀大学 工学部 正 鬼塚亮児

○正 吉武茂樹

学 久保信幸

1. 考え方: 工構造は、工の種類や工の状態の違いによつて異なる。特に、締固め工では、締固め方法の違い、締固め時の密度や含水比の違い、あるいは、工の砂質工であるか粘性工であるかによつても異なる。また、乱さない工と締固めた工とその土構造は異なるものと考えられる。このような土構造の違い、特に、土粒子の配列構造の違いは、工の力学的特性(強度異方性を含む)の違いに大きな影響を及ぼしているものと思われる。著者らは、乱さない工や締固め工について、また、工の種類を変えて一面せん断試験を実施し、工構造(土粒子の配向性)と力学的特性の関係を明らかにした。また、一面せん断試験を実施した理由としては、せん断面の角度が規定できることがある。このせん断面が明確であるといふことは、著者らの研究目的である工構造と力学的特性との関係を試験結果から類推するうえで重要なものである。

2. 試料および試験方法: 2.1 試料 試験に使用した試料は、白色粘土、ミクニ土、砂と粘土の混合土、不飽和の粘性土等である。乱さない試料は、CBR用モールドを切土斜面に静かに押し込んで採取した。また、締固め工は、前段の含水比を $10\text{cm} \times 10\text{cm} \times 10\text{cm}$ の立方体モールドに締固めて作成した。これらからFig. 1 に示すように H Specimen, V Specimen を削り出した。供試体の寸法は、 $\phi b \times 2\text{cm}$ ,  $\phi b \times 1.2\text{cm}$ である。

2.2 試験方法 試験に使用した機種は、往復式せん断装置の一面せん断試験機である。改良型の試験機では、圧密定圧せん断、圧密定体積せん断試験を行つた。せん断方法は、応力制御とひずみ制御を併用した。非水浸試験では、刃への分間圧密した後、直ちにせん断を行い、水浸試験では、圧密後、給水して垂直方向の変位が落つかなくなるせん断を行つた。

3. 試験結果と考察: 3.1 異方性を考慮した乱さない土の力学的特性 乱さない状態で採取した試料のせん断応力、垂直変位と水平変位の関係はFig. 2 のようになる。また、この図の破線は、乱さない工と同じ密度と含水比を持つ様に静的に締固めた供試体のそれを示している。乱さない工では、小さな水平変位でせん断応力の明確なピークが現われ、また、垂直変位につれても、膨張に軽く、その量も大きい。一方、静的に締固めた供試体では、水平変位の増加とともに、せん断応力は徐々に増大し、ピークを見られない。しかししながら、残留強度は両者ともほぼ一致している。このことは、乱さない供試体の工構造がせん断応力のピークを示した後、せん断による粒子碎砕などの原因によって乱され、逆に締固めた供試体の工構造に近づいたためと思われる。また、乱さない供試体の膨張量が大きいこととは、この供試体が膨張性粘土であり、堅固な工構造を有していないものと推察できる。このことは逆に、この固着力の差が、乱さない供試体と静的に締固めた供試体のピーク時

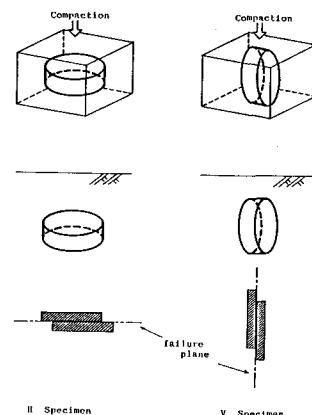
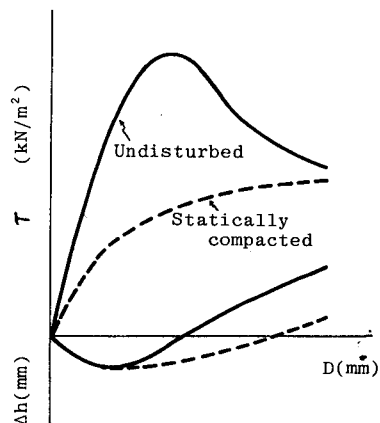


Fig.1 H specimen and V specimen

Fig.2 Relation between shear stress  $\tau$ , vertical displacement  $\Delta h$  and horizontal displacement  $D$

のせん断応力の差によるものと考えられる。魏々く、乱さない土の H Specimen, V Specimen のせん断応力、密度を比較すると次のようになる。V Specimenの方がせん断応力、密度ともに大きく、 $(\tau)_V > (\tau)_H$ ,  $(\gamma_V) > (\gamma_H)$  である。また、垂直変位に比べても、V Specimenの方が膨張に軽じ易い。せん断応力、垂直変位と水平変位の関係は Fig. 3 のようになると思われる。

3.2 異方性を考慮した締固め工の力学的特性 締固め工の場合、その締固めエネルギーがより大きくなると、締固めによる粒子破砕などの影響が大きく、せん断応力の明確なビーグは見られず。せん断応力は、水平変位の増加とともに徐々に増大していく傾向にある。次に、締固め工の密度異方性は、締固め方法、土の種類、締固め密度によっても異なる。すなはち、モリ工や風化片岩等の砂質工を締固めると、締固め方法や含水比、密度に関係なく、V Specimenの方がせん断応力、密度は大きい。 $(\tau)_V > (\tau)_H$ ,  $(\gamma_V) > (\gamma_H)$  である。砂と粘土の混合土では、砂の混合率が 6% を越えると同様の傾向を示す。また、ダイレクティンサー特性も V Specimenの方がより大きめの値を示す。締固め圧縮工の場合、締固め方法の違いによつて異なる。動的締固めでは砂質土と同じく、 $(\tau)_V > (\tau)_H$ ,  $(\gamma_V) > (\gamma_H)$  である。動的突固めでは締固めエネルギーの大小によつて強度異方性は異なる。

3.3 土構造：一面せん断試験の結果 一節につづけて電子顕微鏡による工構造の観察を行つてあるから、乱さない工および締固め工の工構造を推定するとあらうと次の様にならう。締固め圧縮工に比べては、Yang と Warkentin の考え方を基にモデル化した工構造の概念図 Fig. 4 によつて大

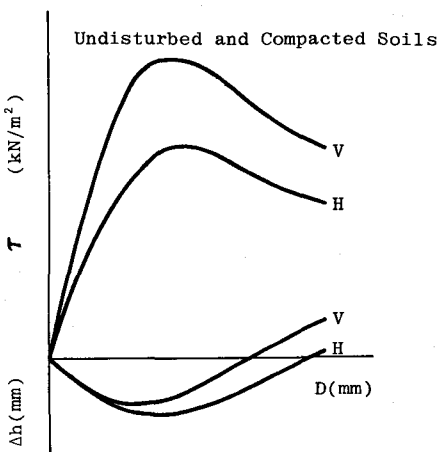


Fig. 3 Relation between shear stress  $\tau$ , vertical displacement  $\Delta h$  and horizontal displacement  $D$

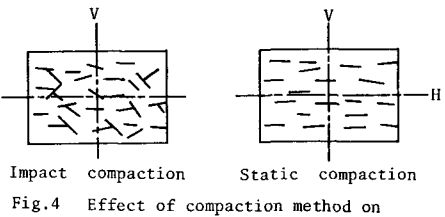


Fig. 4 Effect of compaction method on soil structure

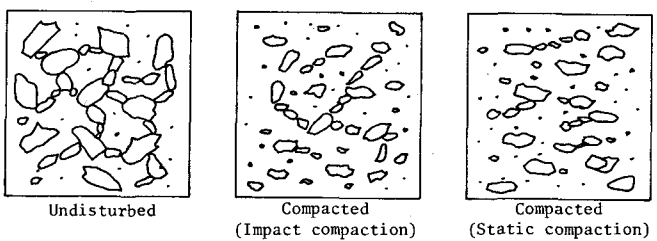


Fig. 5 Soil structures of decomposed granite soils

部分が説明できる。すなはち、H 方向にせん断した場合、動的突固めの方が静的締固めよりもせん断強度は大きい。また、V 方向に比べては、逆に、静的に締固め工方が大きい。次に、砂質土、特に、乱さないモリ工と締固めモリ工の工構造を簡単にモデル化してみると Fig. 5 のようにならう。乱さないモリ工では、ランダムな工構造ではあるが、水平方向の粒子配列が卓越しているものと考えられる。また、乱さない工では、工粒子間の結合力が強く、堅固な工構造を有しているものと思われる。静的に締固め工の場合、工粒子が水平方向により直角方向に工構造に、動的突固めでは、乱さない工と同様な工構造に形成されるものと推察できる。

され、上記の工構造はほとんど一面せん断試験の結果から推定したものであり、工構造と力学的特性の関係をよりよく解明するためには、電子顕微鏡による工構造の観察やサクションの測定がより必要と思われる。

## 参考文献

- 鬼塚亮施・吉武茂樹「混合工の強度異方性」工質工学論文報告集(1983) Vol.23, No.4, pp149~156  
鬼塚亮施・吉武茂樹「モリ工の異方性に付く」昭和57年度工不学会西京支研究発表会, 講演概要集